



•Hydraulic Turbines Cavitation

Pietro Zunino-DIME

*Master Degree in Innovative Technologies in Energy Efficient Buildings
for Russian & Armenian Universities and Stakeholders*



FORMES DIVERSES DES CAVITÉS DE VAPEUR

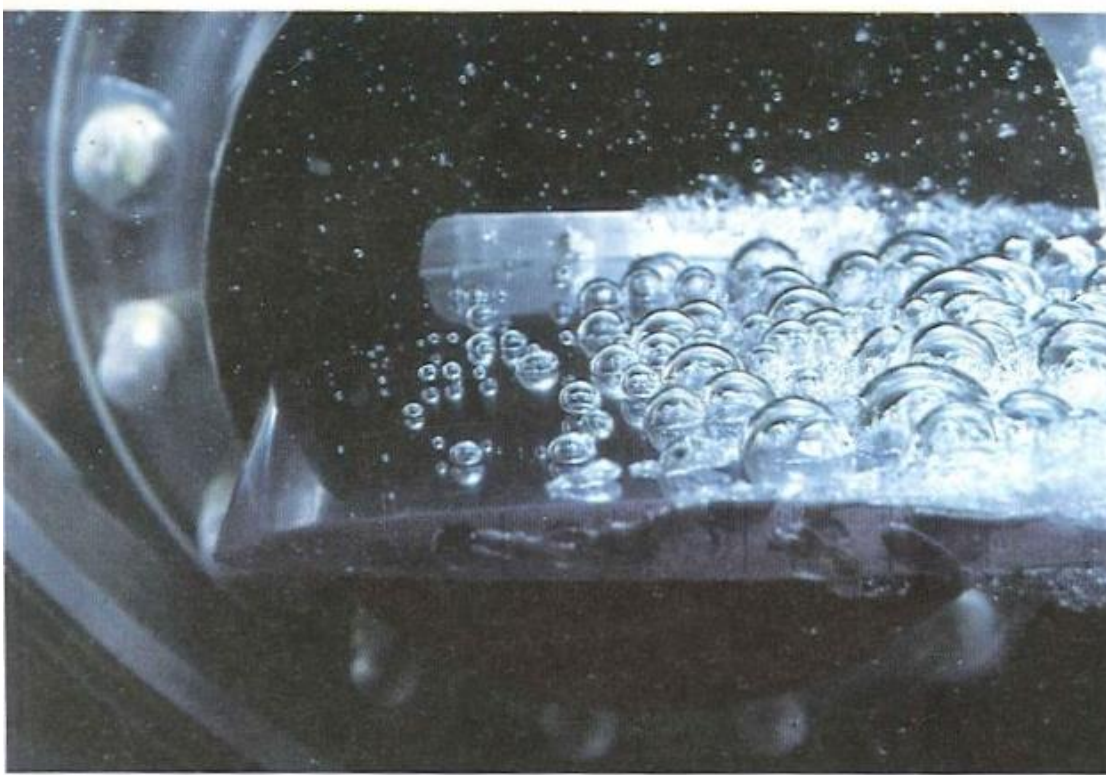
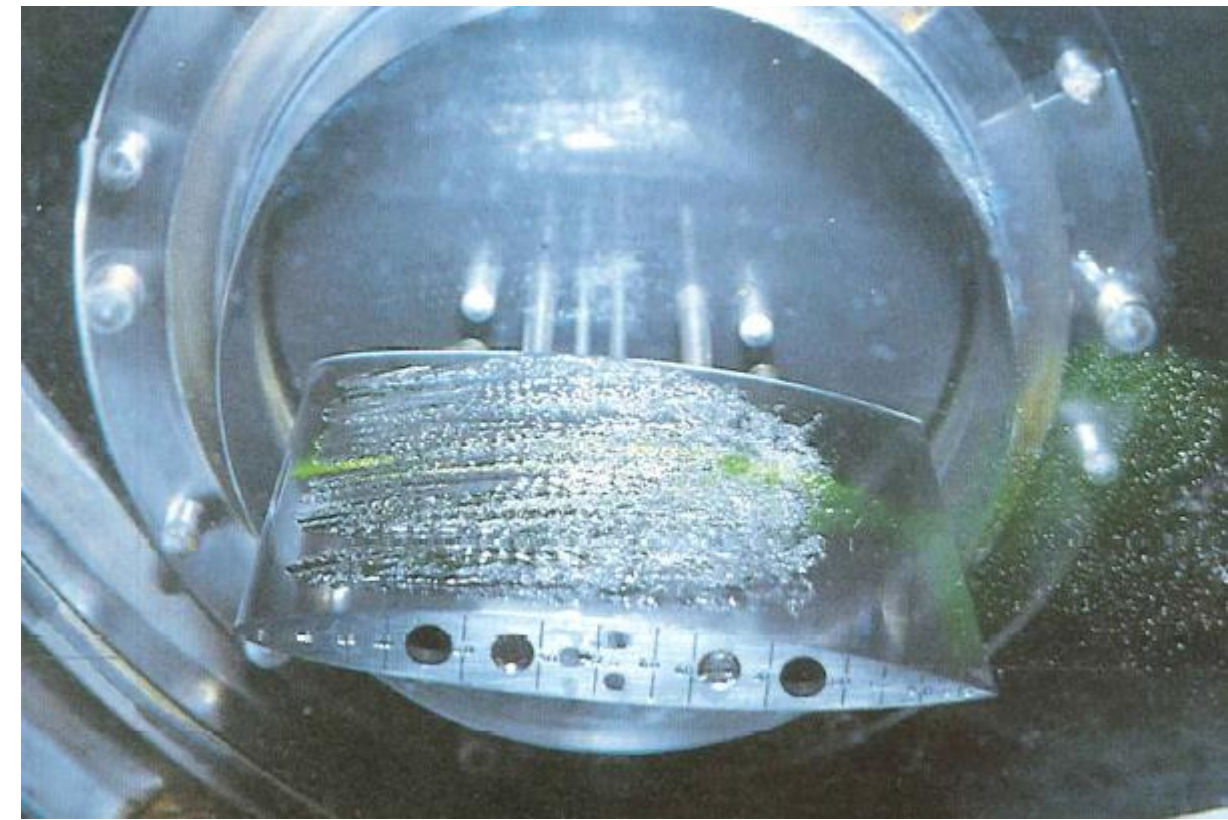


Fig. 1.3. Bulles sur un profil d'aile
(profil NACA 16-209 ; $Re = 10^6$; $\sigma_v = 0,07$; incidence : 0°)



Poche sur un profil d'aile: incidence 5°



FORMES DIVERSES DES CAVITÉS DE VAPEUR

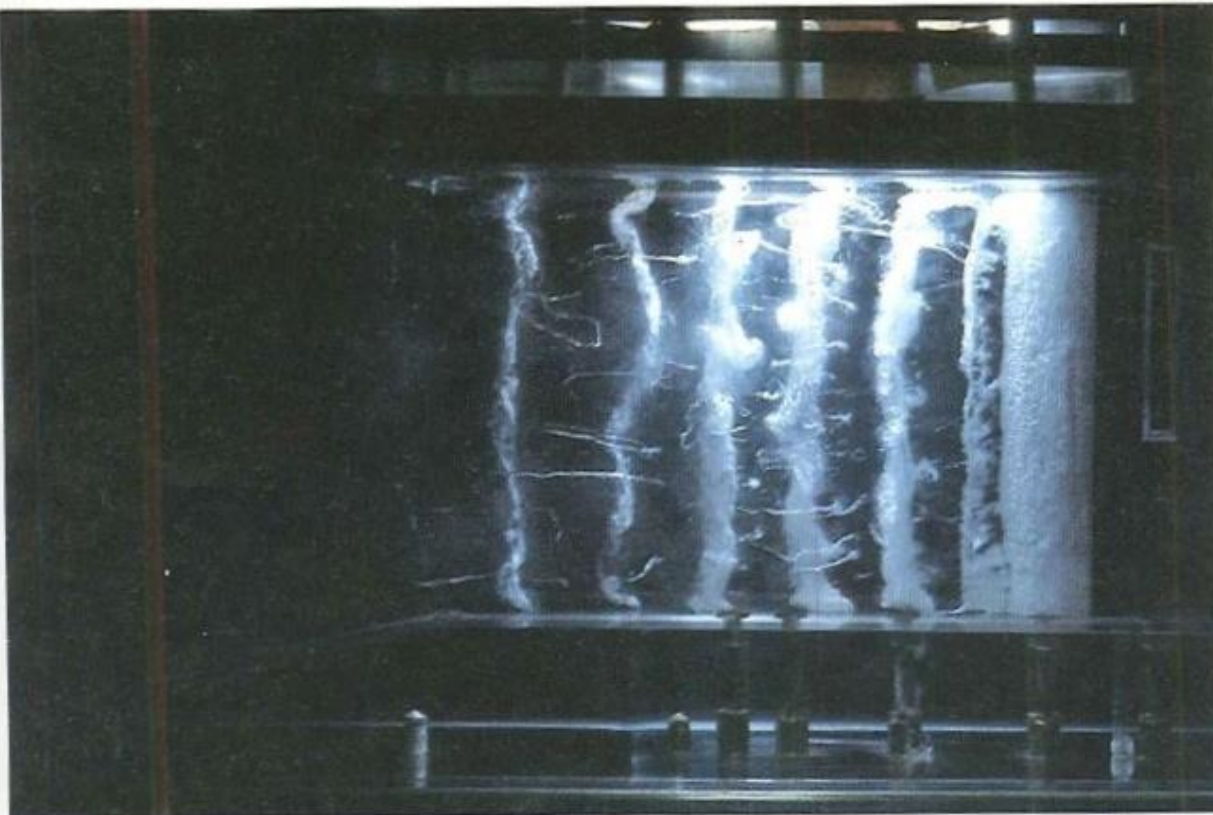


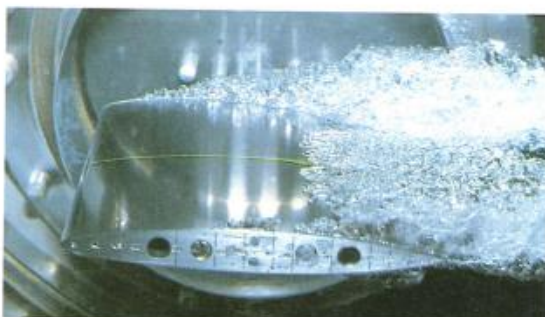
Fig. 1.5. Tourbillons cavitants dans un sillage
(profil : coin prismatique ; $Re = 3,6 \cdot 10^5$; $\sigma_v = 1,57$; $V = 10,8$ m/s ; écoulement de droite à gauche)



Tourbillon d'extrémité d'aile



$\alpha - \alpha = 0^\circ$ (domaine 1)



$\alpha - \alpha = 3^\circ$ (domaine 1)



$\alpha - \alpha = 4^\circ$ (domaine 2)



$\alpha - \alpha = 5^\circ$ (domaine 2)



$\alpha - \alpha = 7^\circ$ (domaine 3)

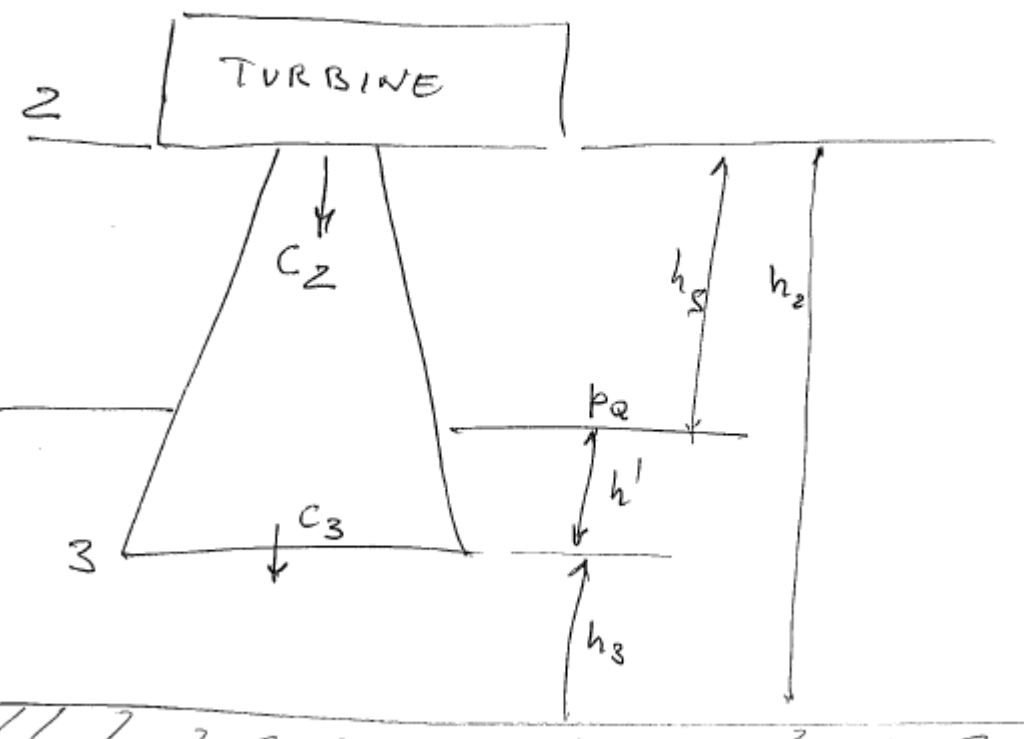


$\alpha - \alpha = 12^\circ$ (domaine 3)

Fig. 4.12. Visualisation de la couche limite et de la cavitation par poche se développant à l'extrados d'un profil NACA 16-012 en fonction de l'incidence pour un nombre de Reynolds $Re = 6.10^5$ et un paramètre de cavitation $\sigma_v = 0,13$



Hydraulic Turbine Diffuser



$$\frac{p_2}{\rho} + \frac{c_2^2}{2} + g h_2 = \frac{p_3}{\rho} + \frac{c_3^2}{2} + g h_3 + \rho h_{pd}$$

$$\frac{p_3}{\rho} = \frac{p_a}{\rho} + \rho h' \quad h' + h_3 = (h_2 - h_s)$$

$$\frac{p_2}{\rho} + \frac{c_2^2}{2} + \rho h_2 = \frac{p_a}{\rho} + \frac{c_3^2}{2} + g (h_2 - h_s) + \rho h_{pd}$$

$$\frac{p_2}{\rho} = \frac{p_a}{\rho} - \rho h - \frac{(c_2^2 - c_3^2)}{2} + \rho h_{ff}$$

$p_2 < p_a$ for head (suction) and kinetic energy recovery



But to avoid cavitation:

$$\frac{P_2}{f} = \frac{p_a}{f} - h_s - \frac{(c_2^2 - c_3^2)}{2g} + h_p \geq \frac{p_v}{f} \quad (2)c$$

In the turbine in reality

$$p_{min} < p_2$$

$$\frac{p_{min}}{f} = \frac{p_2}{f} - \frac{\lambda w^2}{2g} \quad \text{therefore}$$

$$\frac{p_a}{f} - h_s - \frac{c_2^2 - c_3^2}{2} + h_p - \frac{\lambda w^2}{2g} \geq \frac{p_v}{f}$$

$$\frac{p_a}{f} - \frac{p_v}{f} - h_s \geq \frac{c_2^2 - c_3^2}{2} + \frac{\lambda w^2}{2g} - h_p$$

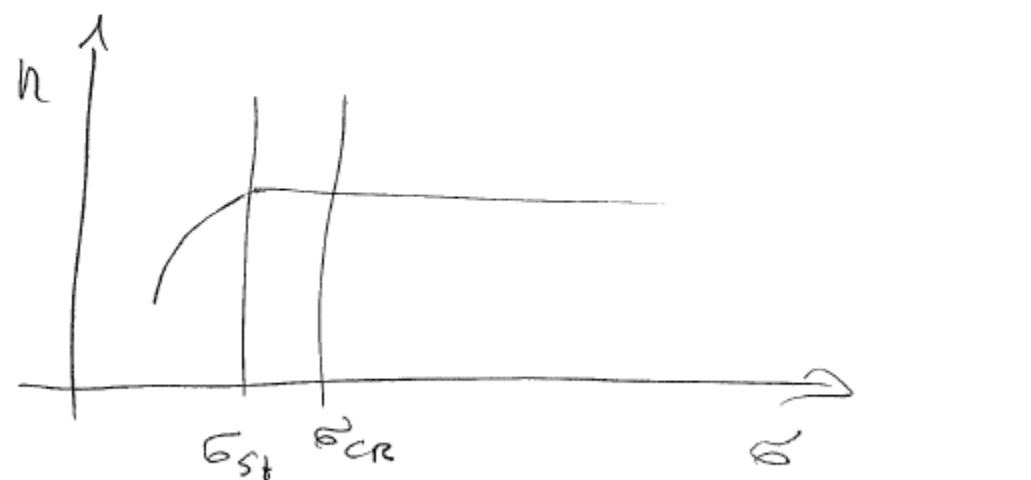
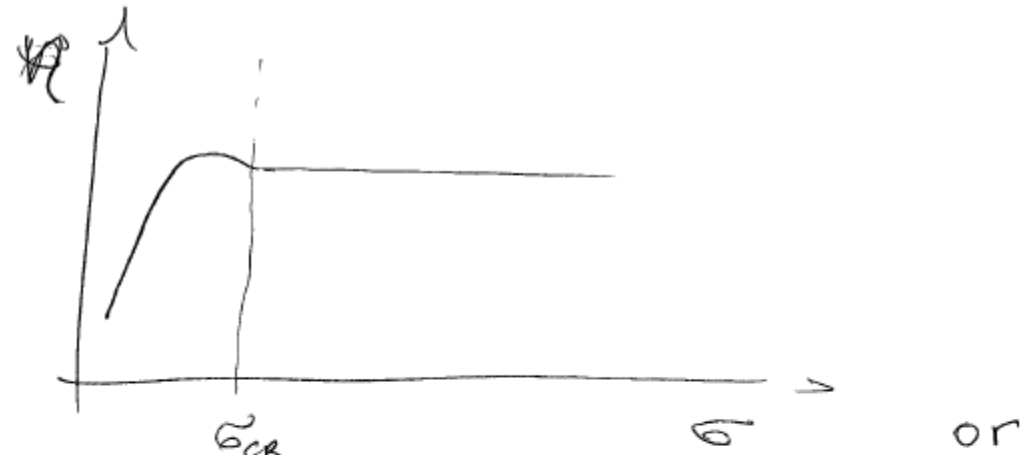
$$NPSH_{plant} \geq NPSH_{critical} \text{ (required)}$$

$$\frac{NPSH}{f}_{plant} \geq \frac{NPSH_{crit.}}{f}$$

$$\sigma_{plant} \geq \sigma_{cr}$$



σ_{cr} is experimentally determined by cavitation tests for the turbine and finally h_s (suction head) can be calculated in order to avoid cavitation.



or and stroboscopy - tests

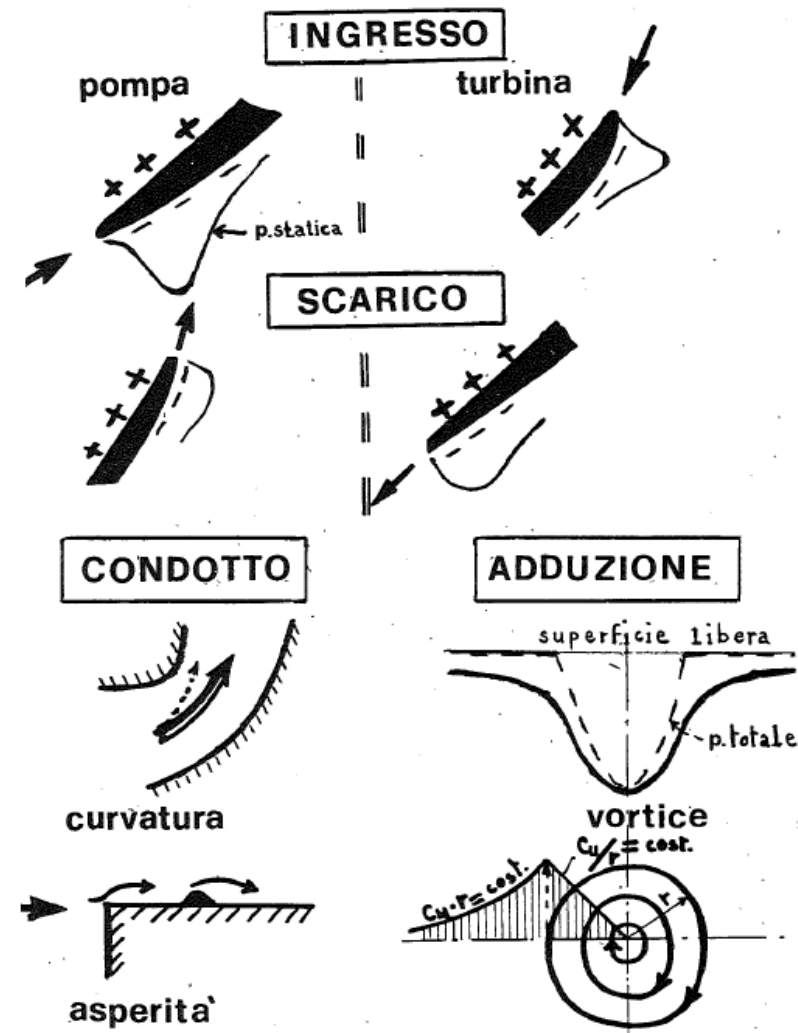


Fig. 3.1. Alcune forme di diminuzione della pressione locale nelle turbomacchine.

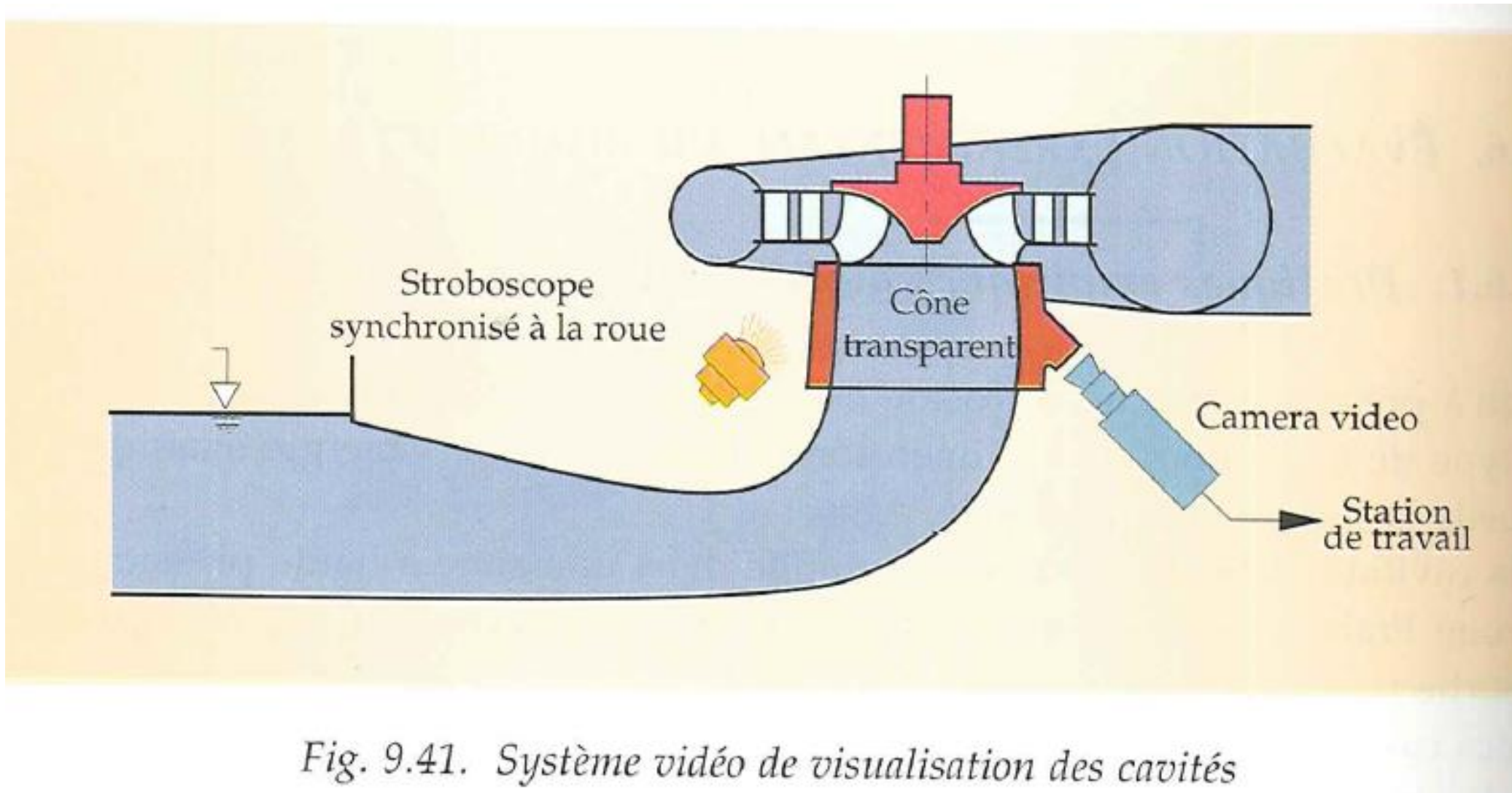


Fig. 9.41. Système vidéo de visualisation des cavités

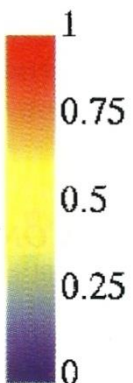
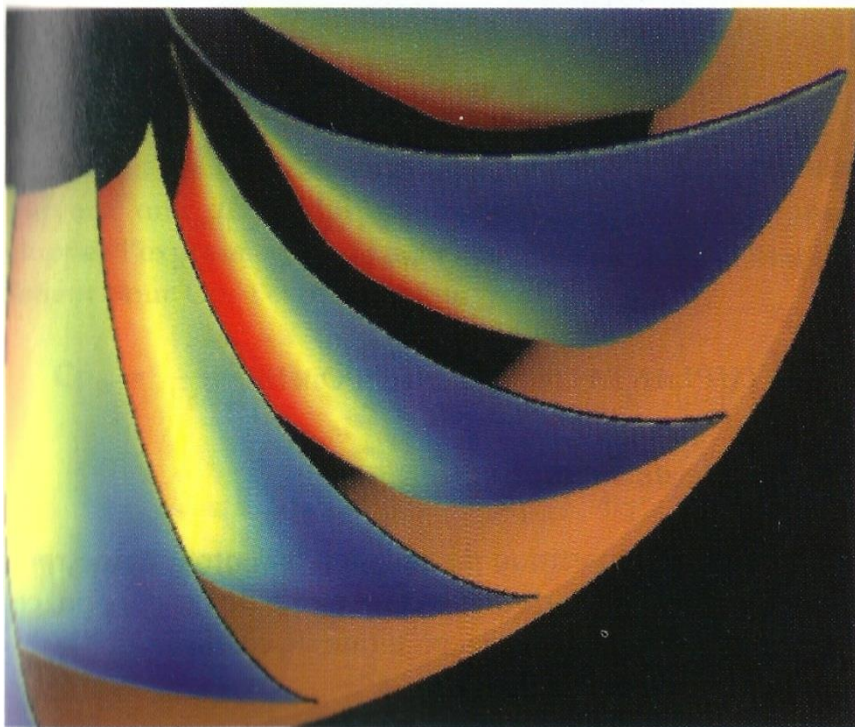


Fig. 9.15. Distribution de pression sur l'aubage d'une roue Francis ($v = 0,500$). Résultats



Fig. 9.16. Développement d'une cavité à l'entrée d'une roue de turbine Francis ($v = 0,500$) (Avellan et al. 1993)

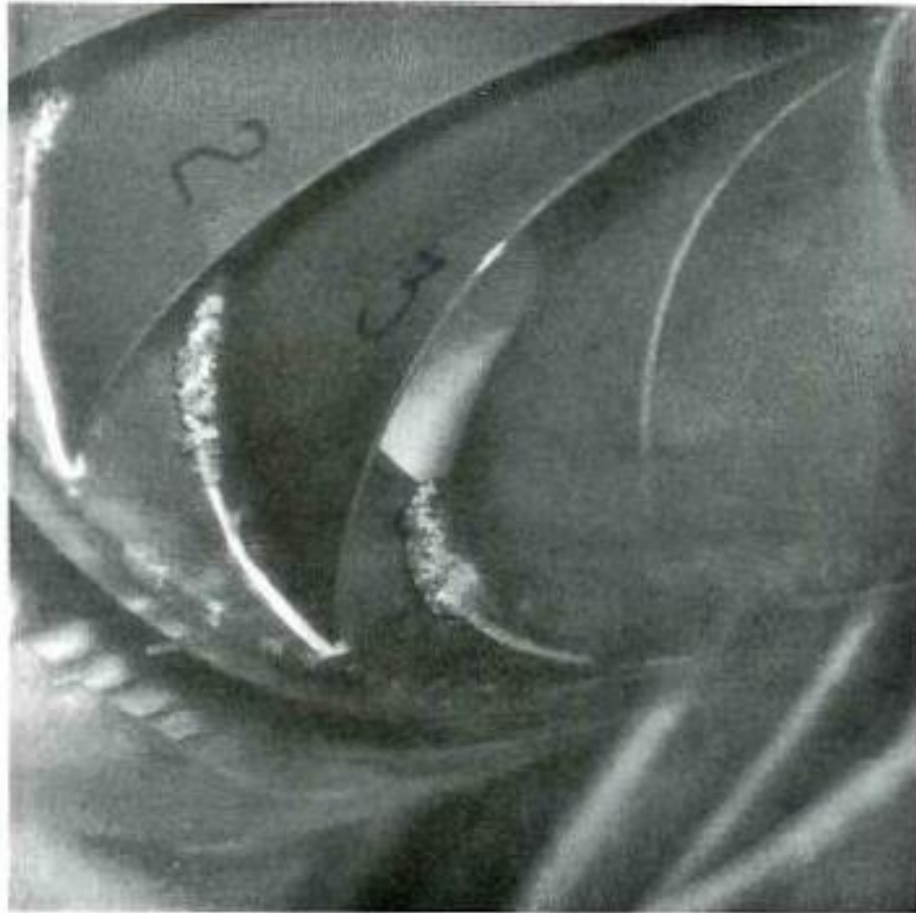
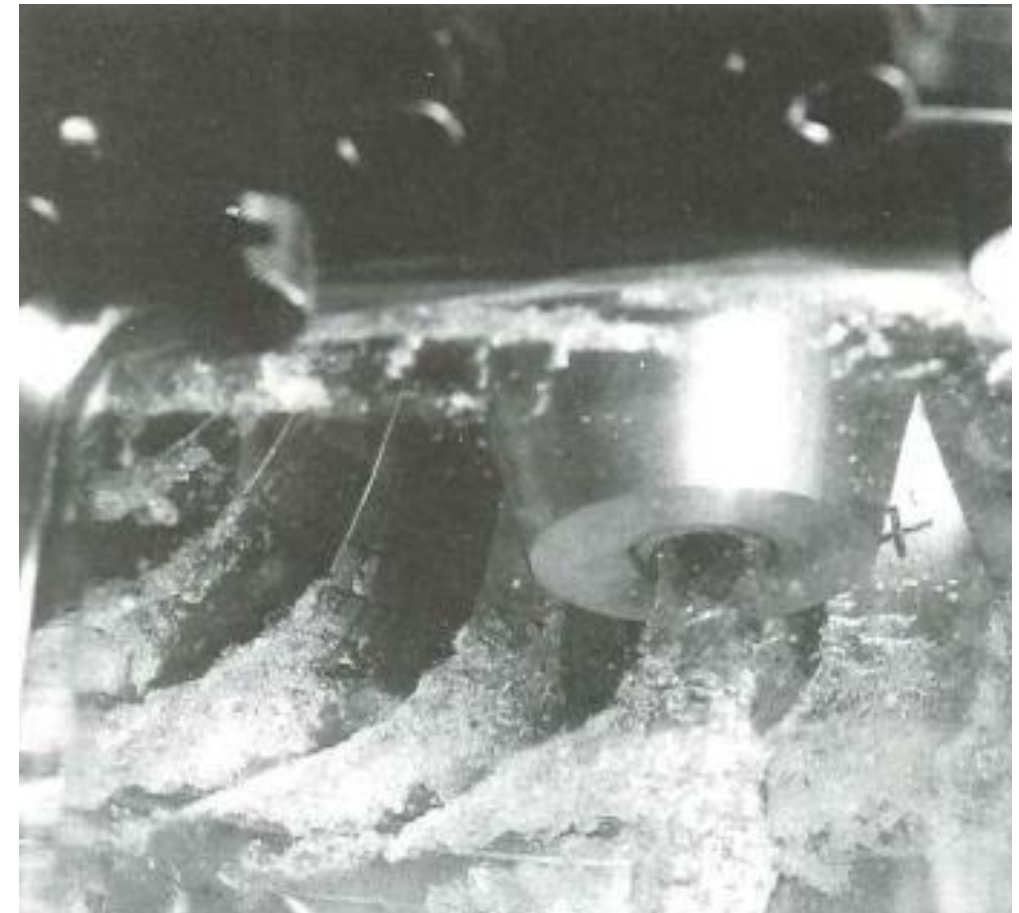


fig. 9.48. Cavitation d'entrée dans une roue de turbine Francis



Cavitation de sortie

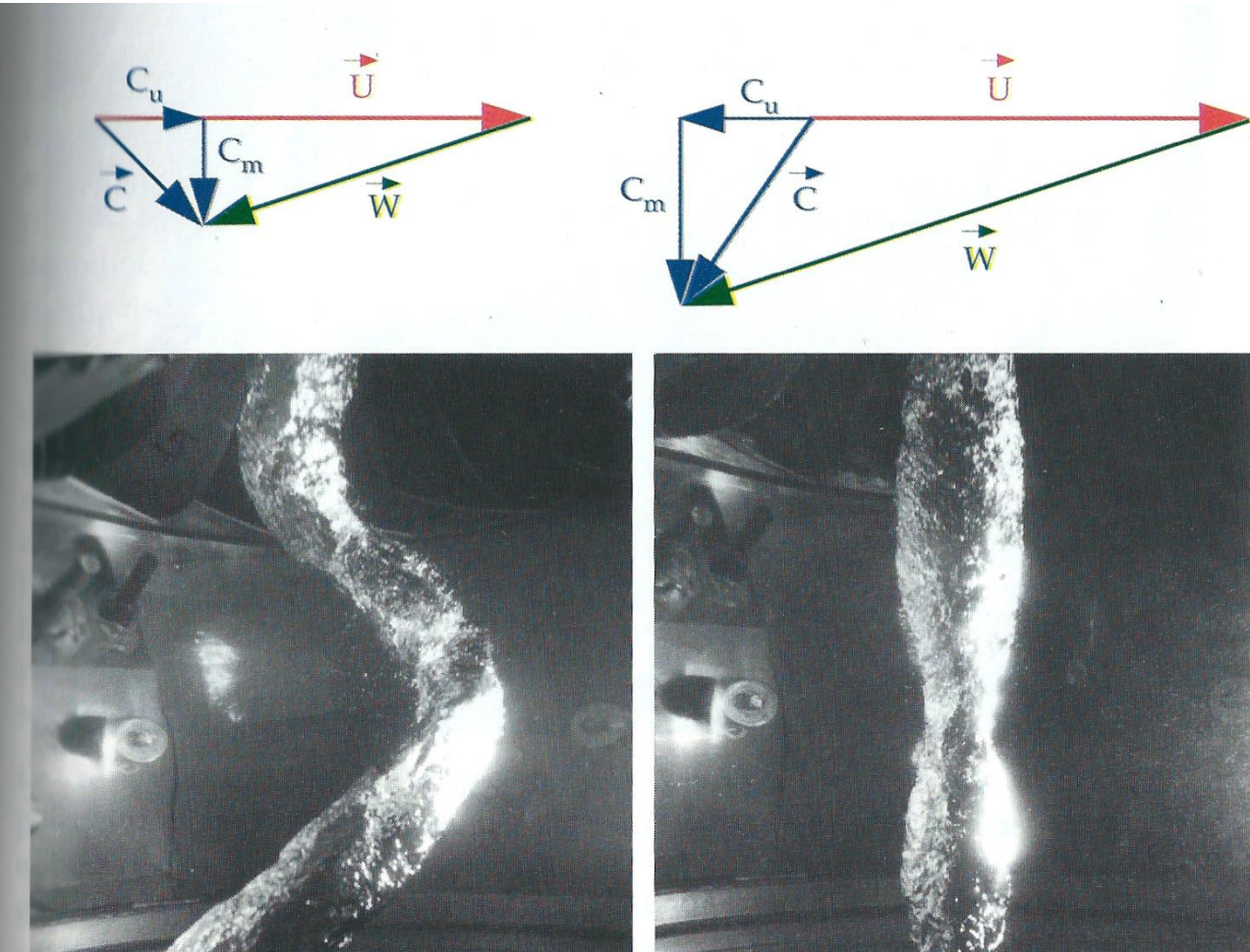


Fig. 9.50. Torche à la sortie d'une roue de turbine Francis pour un point de fonctionnement à débit partiel et à sur-débit

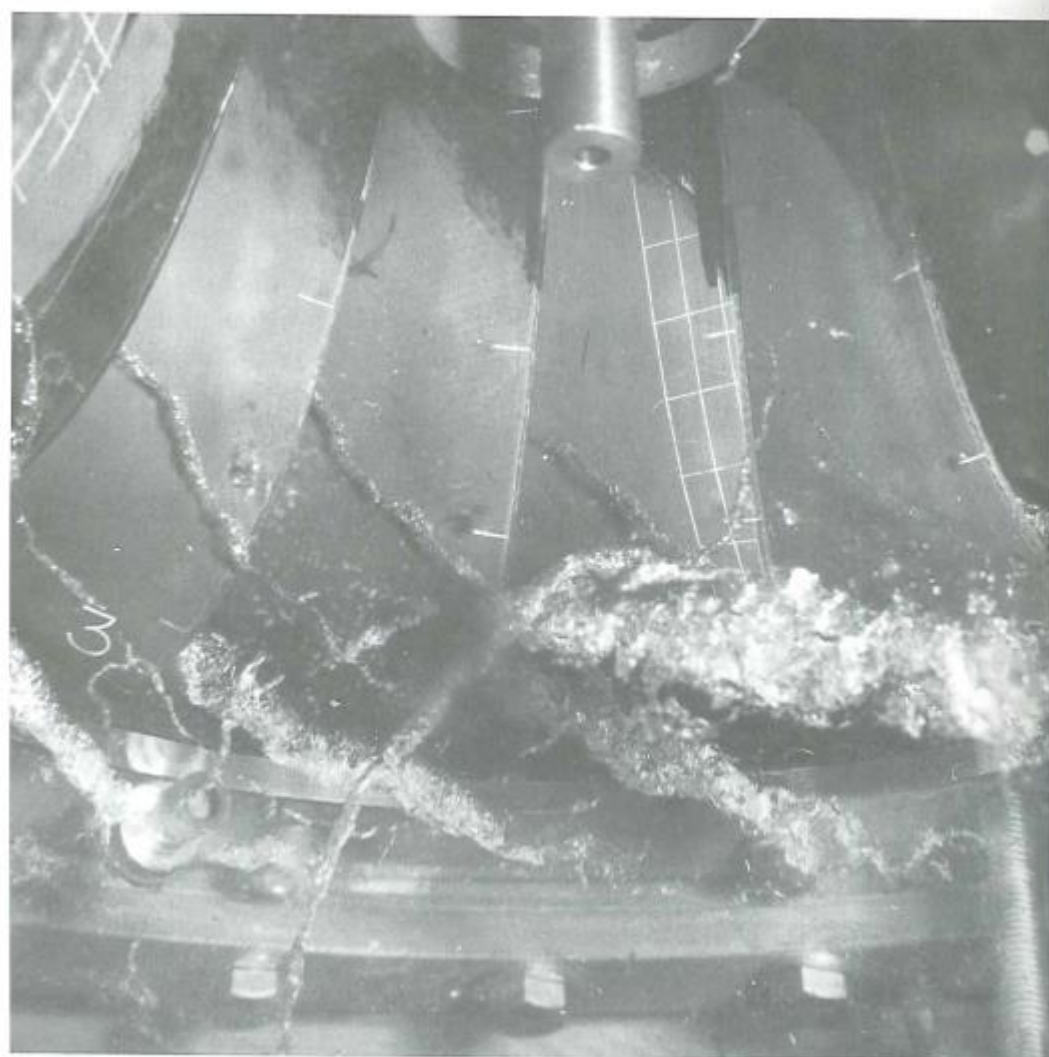
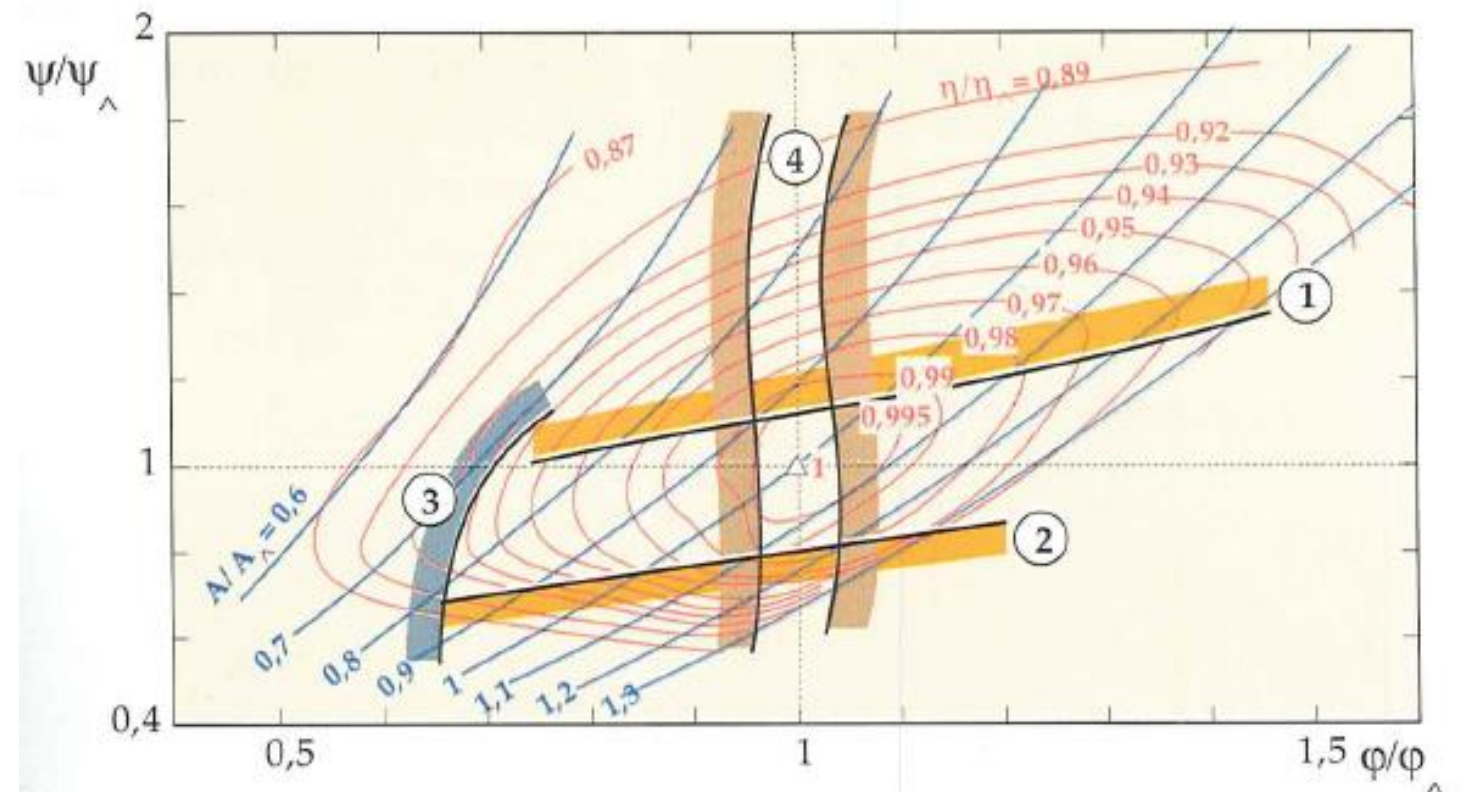


Fig. 9.51. Tourbillons de vapeur de charge partielle dans le canal interaubes d'une roue de turbine Francis



- ① Cavitation d'entrée, intrados
- ② Cavitation d'entrée, extrados
- ③ Zone de torche à charge partielle
- ④ Zone sans torche

Fig. 9.52. Limite d'apparition des différents types de cavitation d'une Turbine Francis

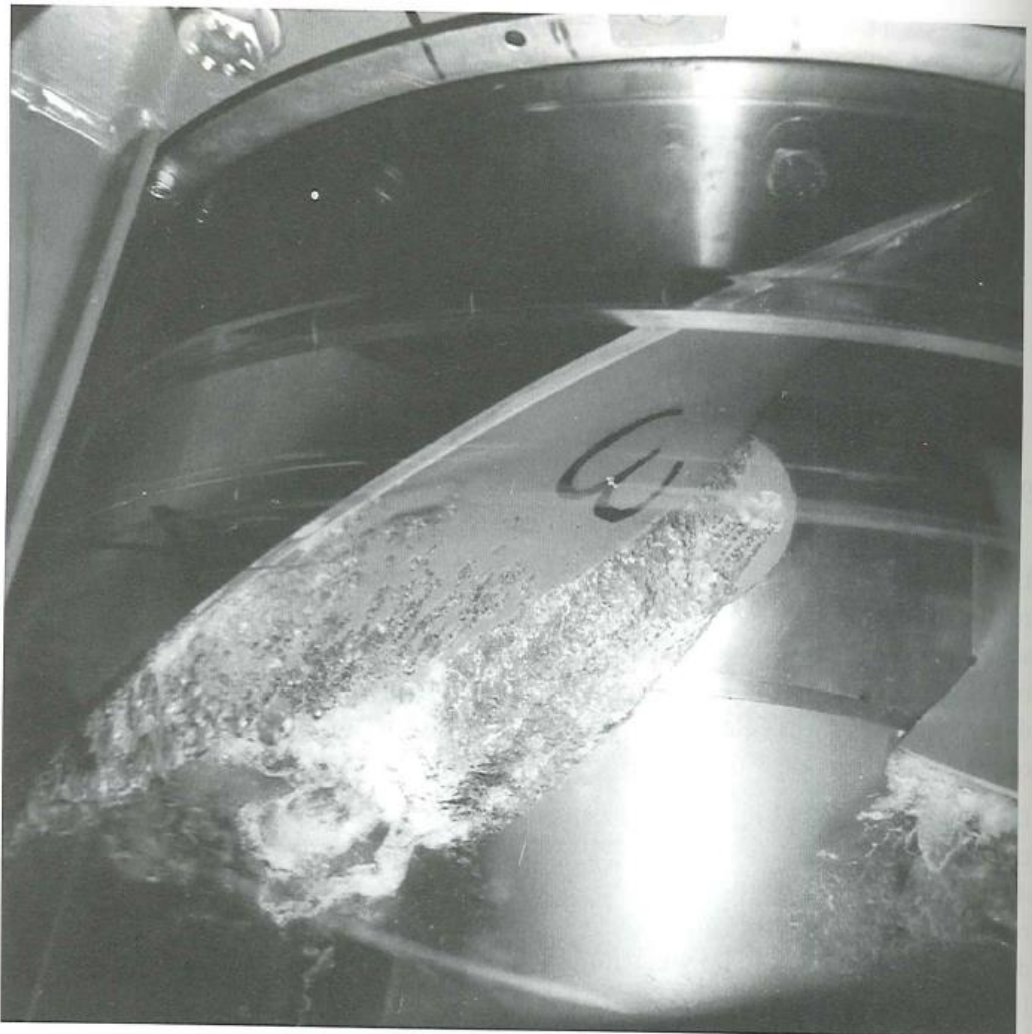


Fig. 9.53. Développement de cavités dans la roue d'une turbine Kaplan

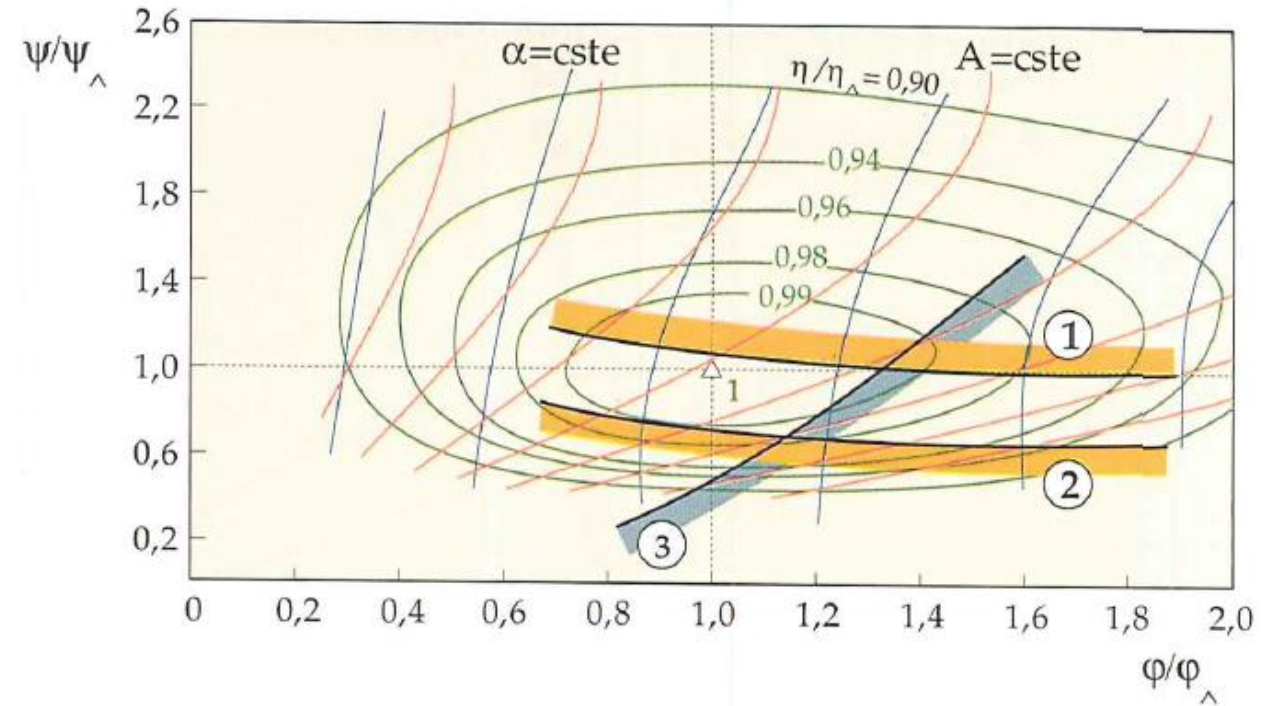


Fig. 9.54. Colline de rendement d'une turbine Kaplan

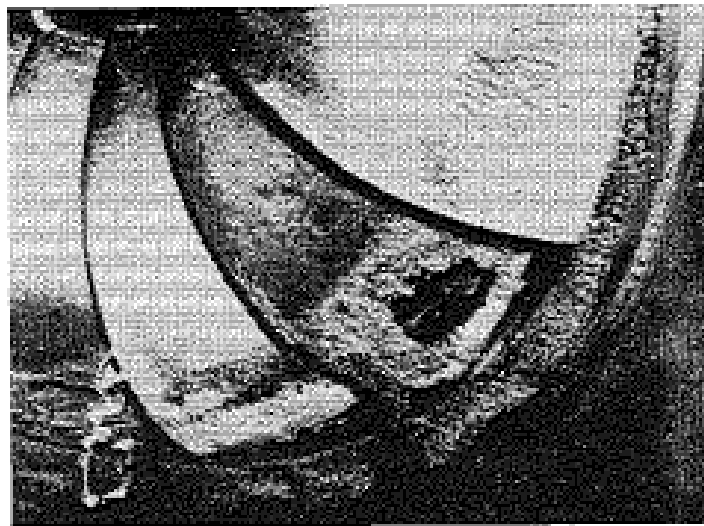
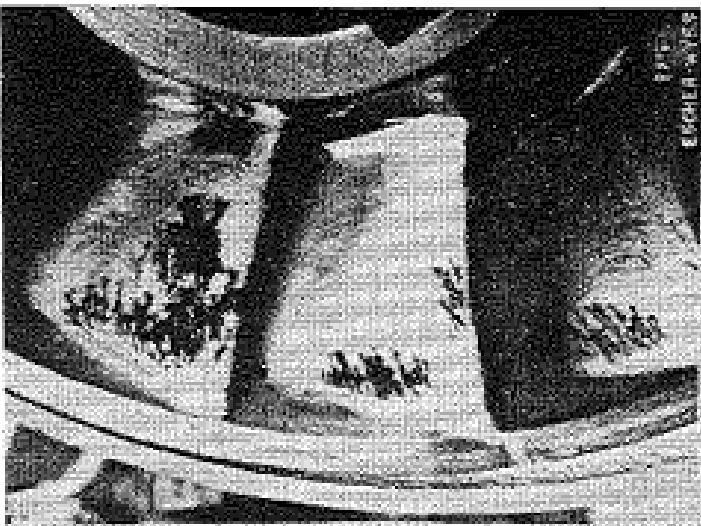
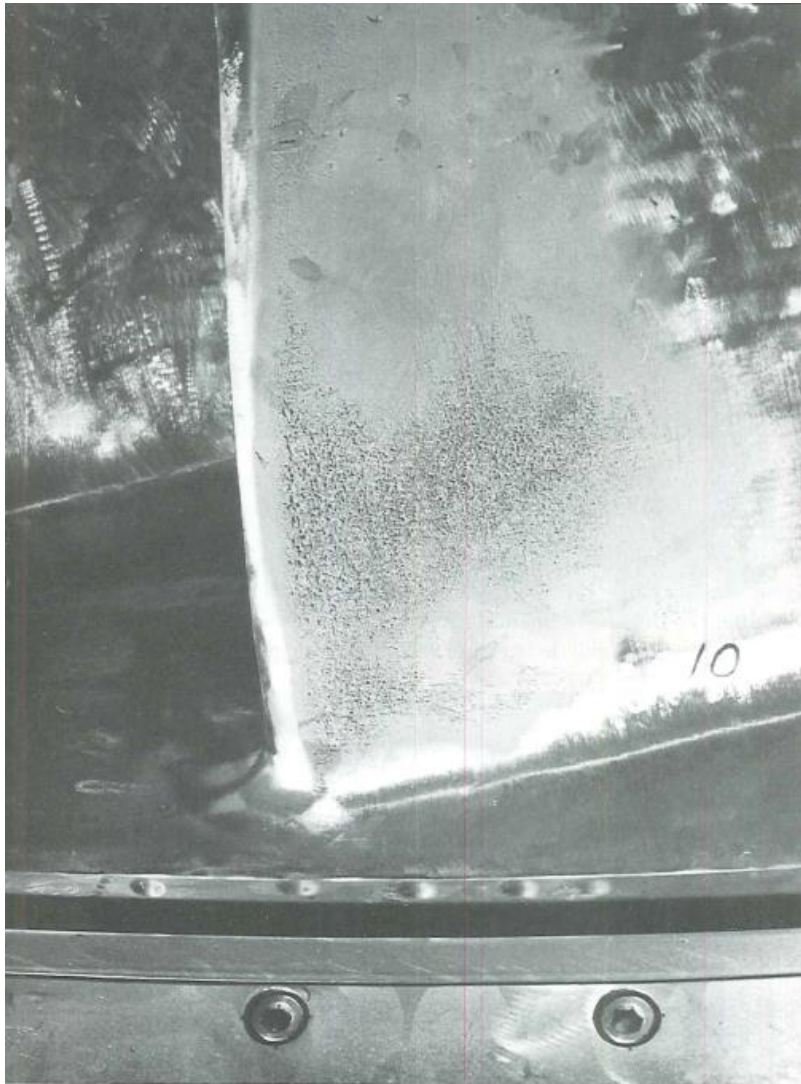


Fig. 9.80. Érosion en sortie d'aubage de roue d'une turbine Francis due à la cavitation à bulles séparées

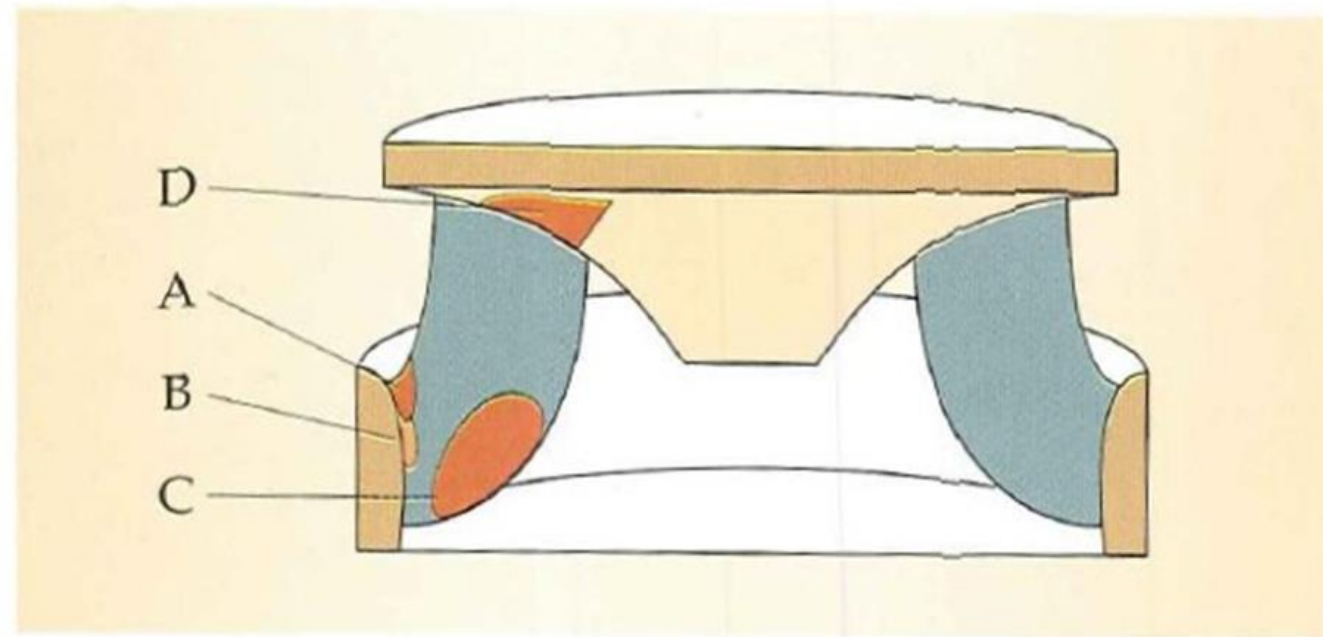
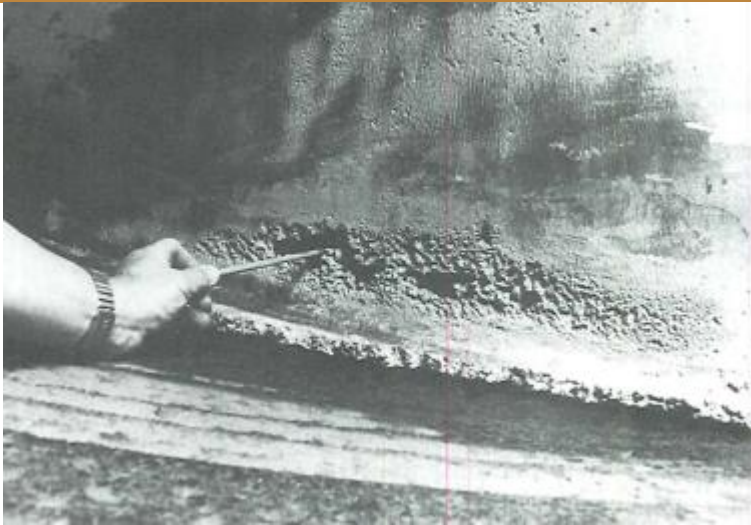


Fig. 9.77. Emplacements des zones de dégâts les plus fréquemment rencontrés dans une roue de turbine Francis



Erosion d'une aube de roue Kaplan due à la cavitation marginale

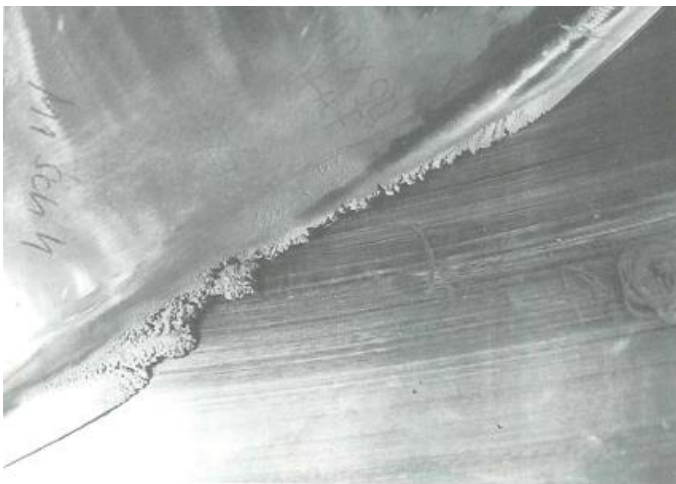


Fig. 9.85. Destruction de la coulisse de bout de pôle d'une roue Kaplan

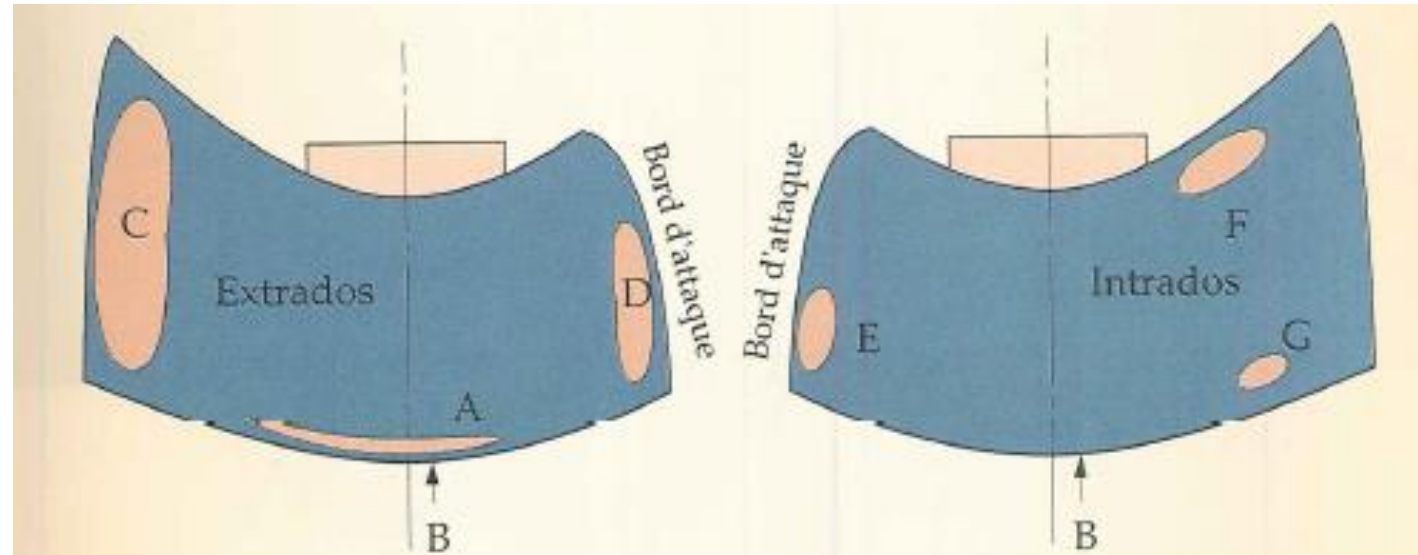


Fig. 9.83. Emplacement des zones de dégâts les plus fréquemment rencontrées dans une roue axiale, turbines Kaplan, hélices ou bulbes

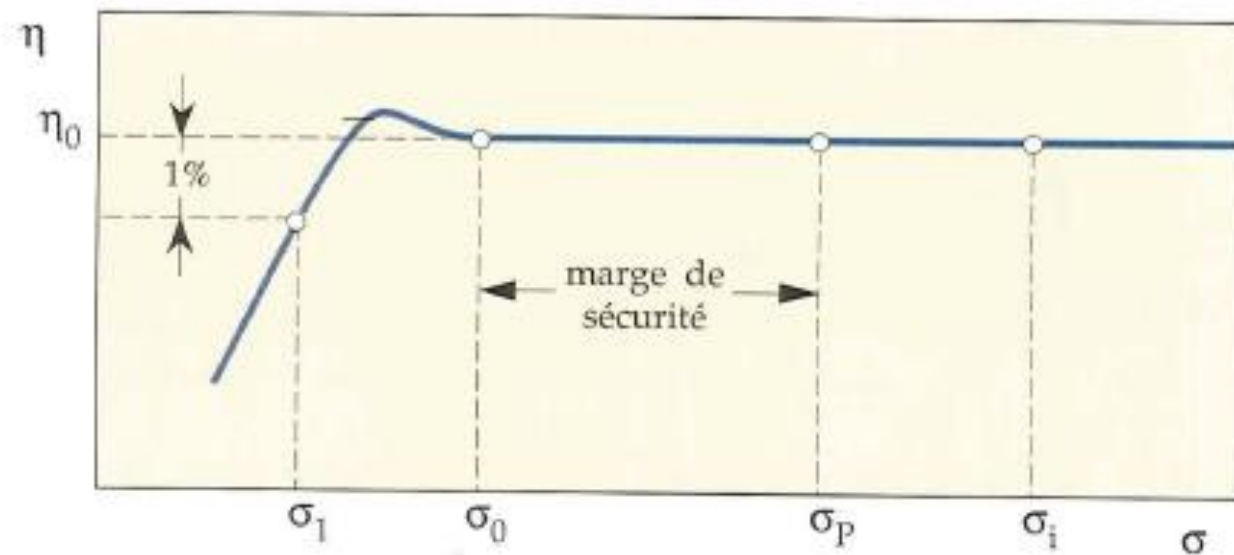
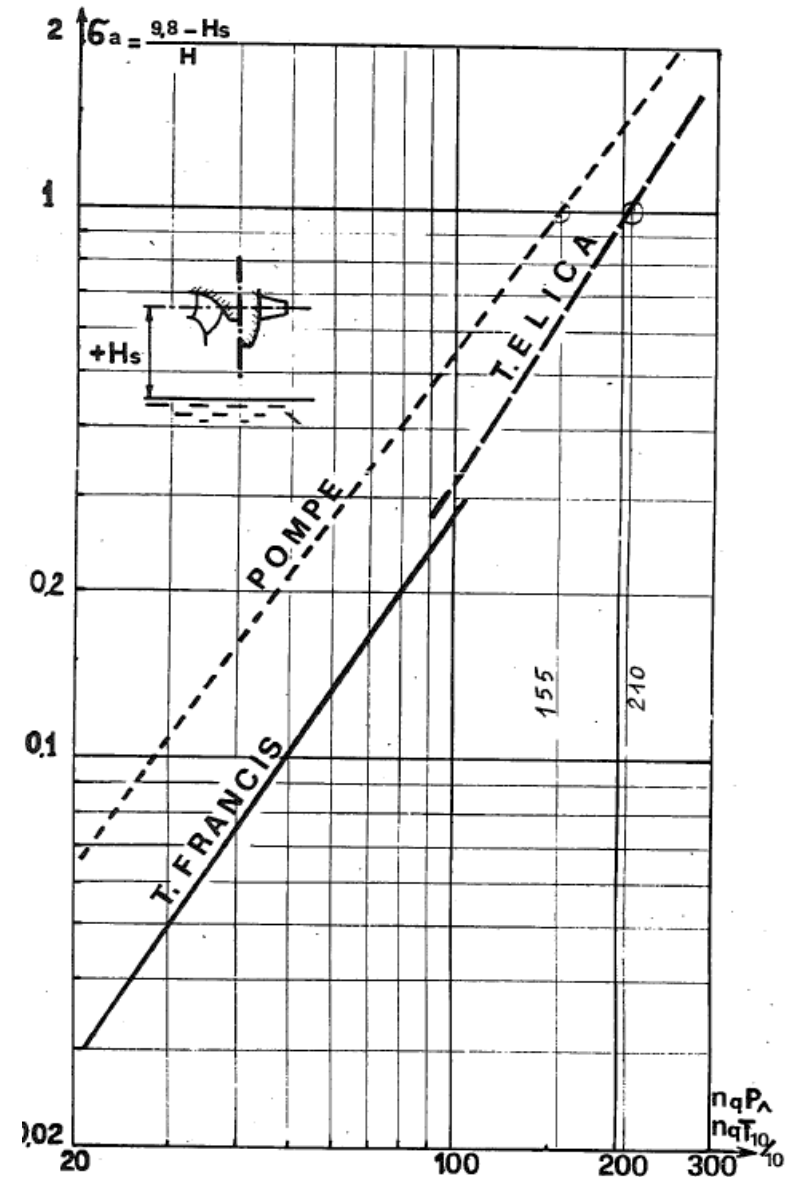


Fig. 9.31. Valeurs remarquables du nombre de Thoma



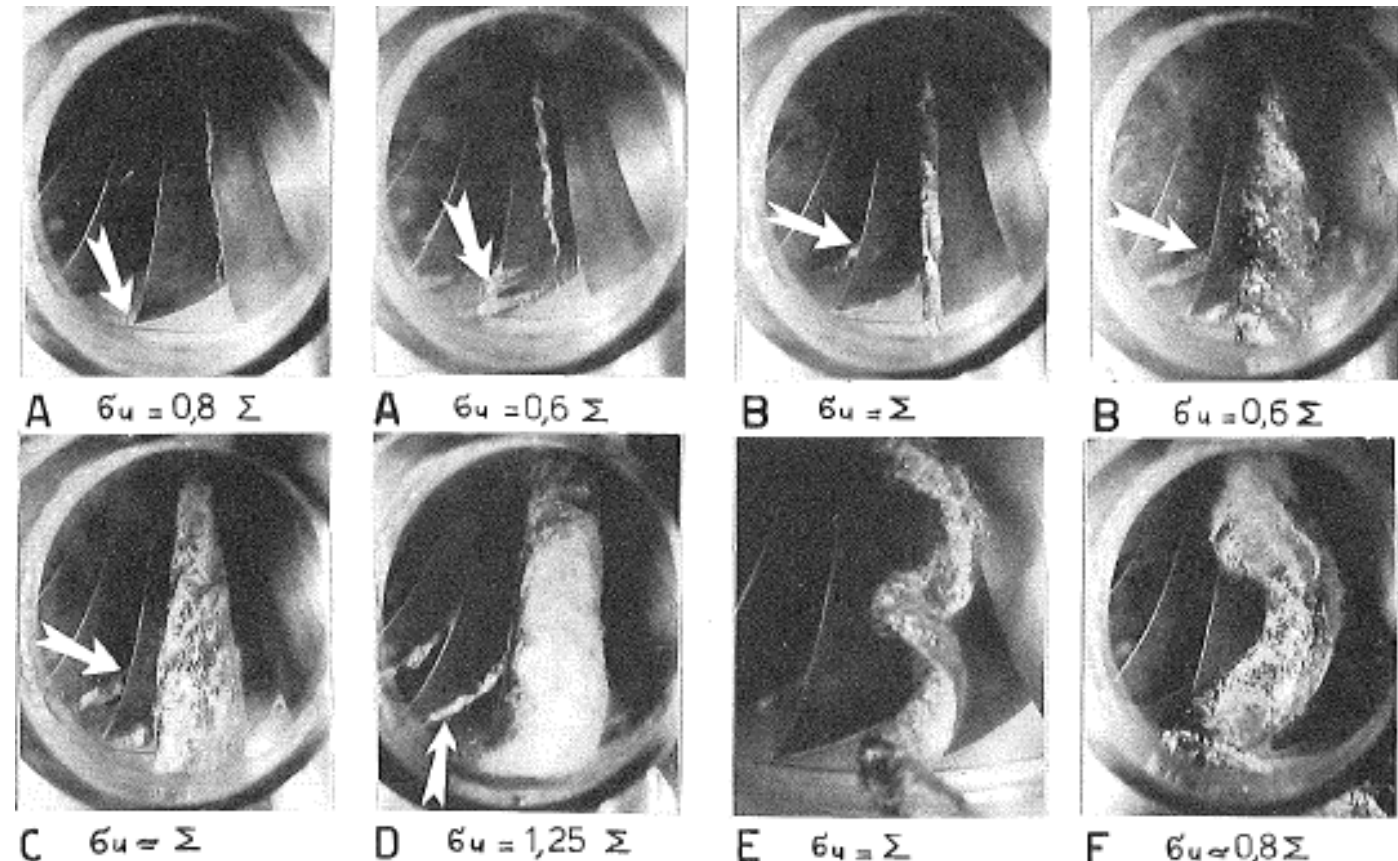
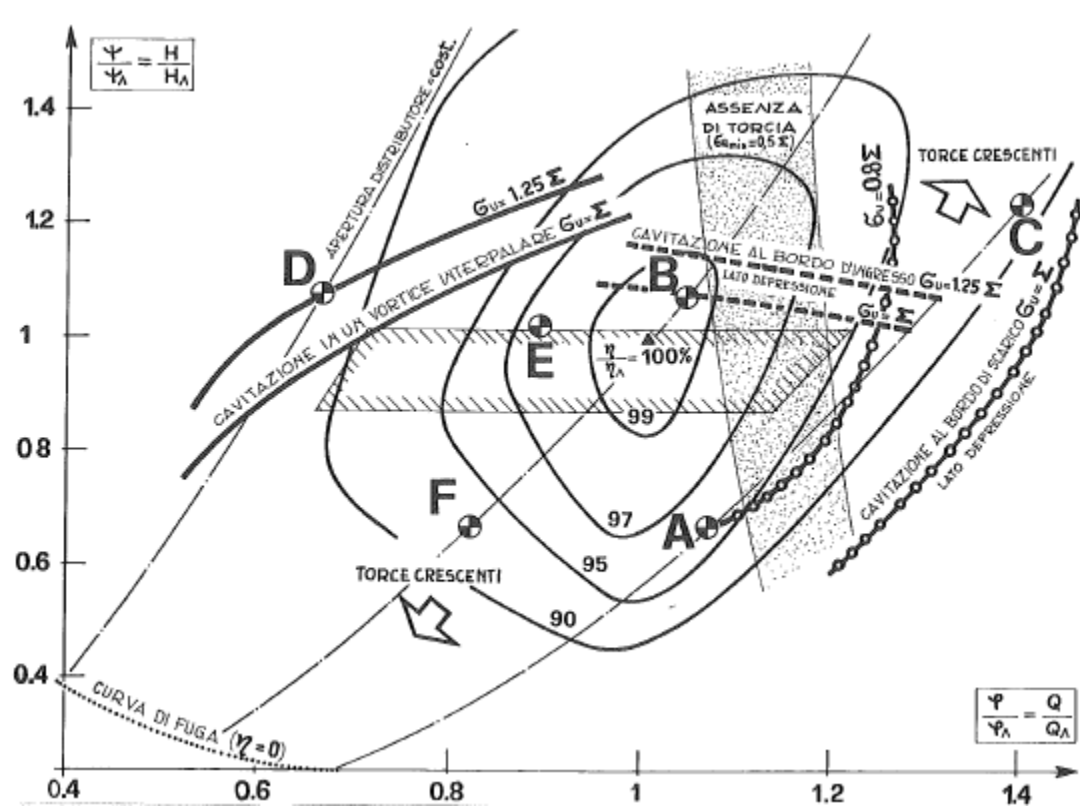


Fig. 14 Francis veloci: diagramma collinare dei rendimenti con cavitazioni e torce.

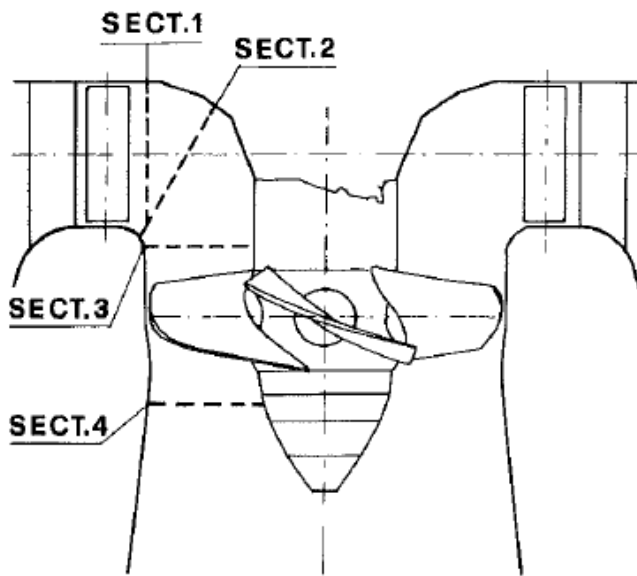


Figure 2 – Section méridienne du modèle Kaplan et position des sections de mesure

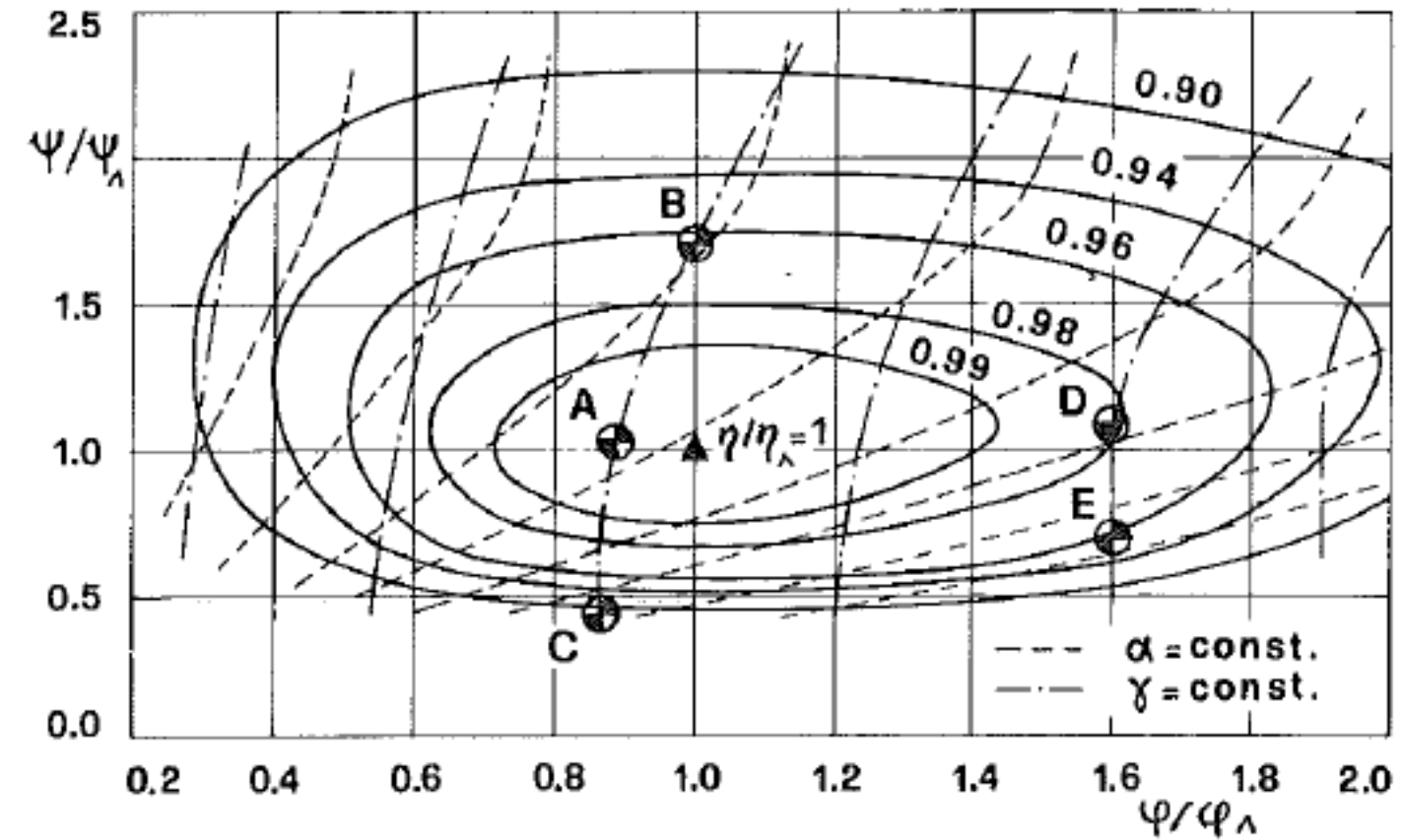


Figure 1 – Diagramme en colline des rendements du modèle Kaplan.



$$C_p = \frac{p - (p_a - h_s \rho g)}{(\rho u_e^2 / 2)}$$

Quand la pression p sur les aubes atteint la tension de vapeur p_v , on a :

$$C_p = \frac{p_v - (p_a - h_s \rho g)}{\rho u_e^2 / 2} = - \frac{\text{NPSH}}{u_e^2 / 2g} = - \sigma_u$$

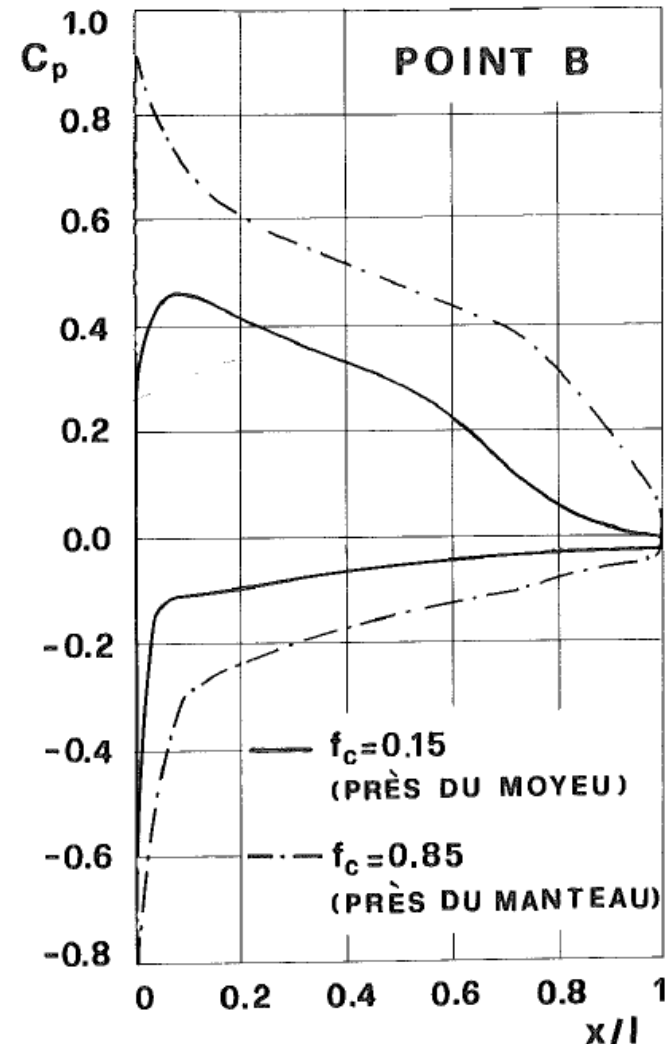
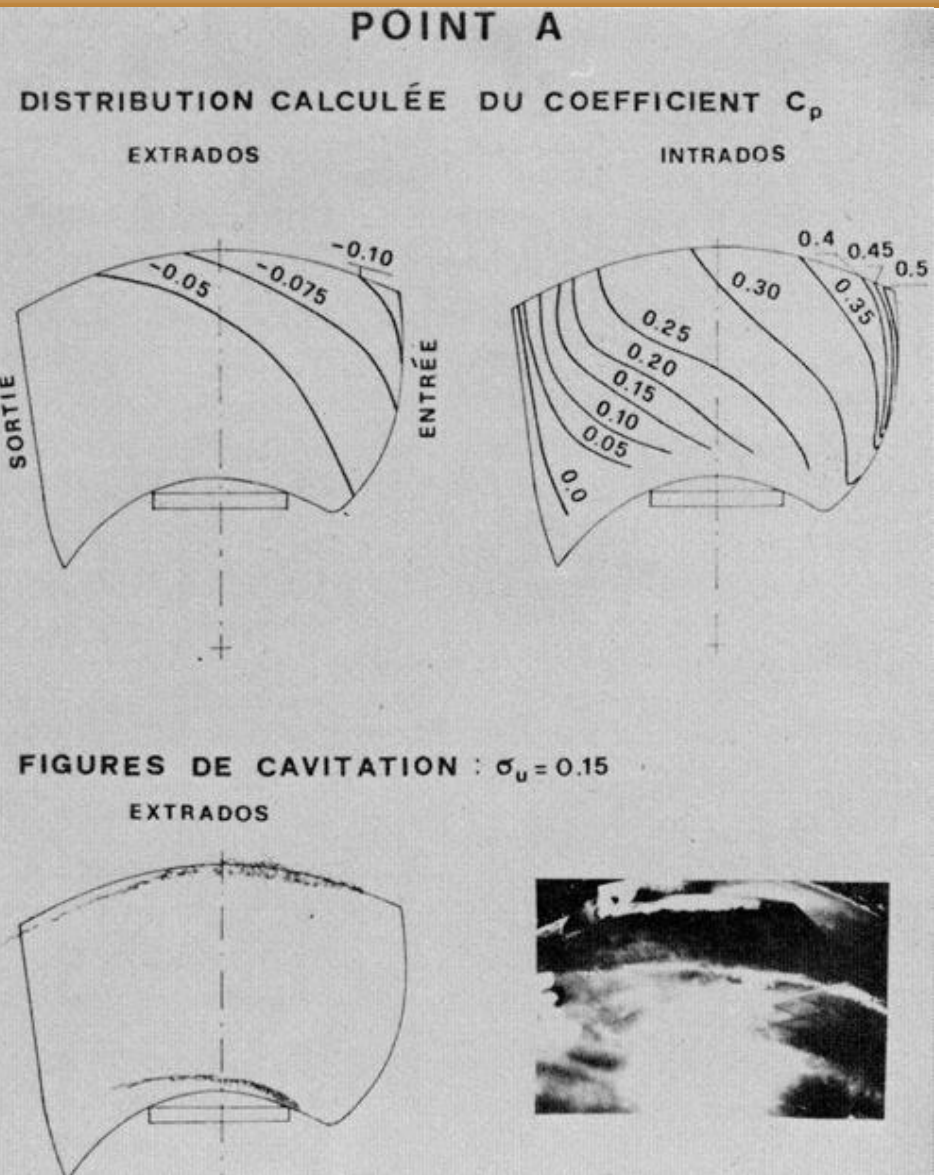
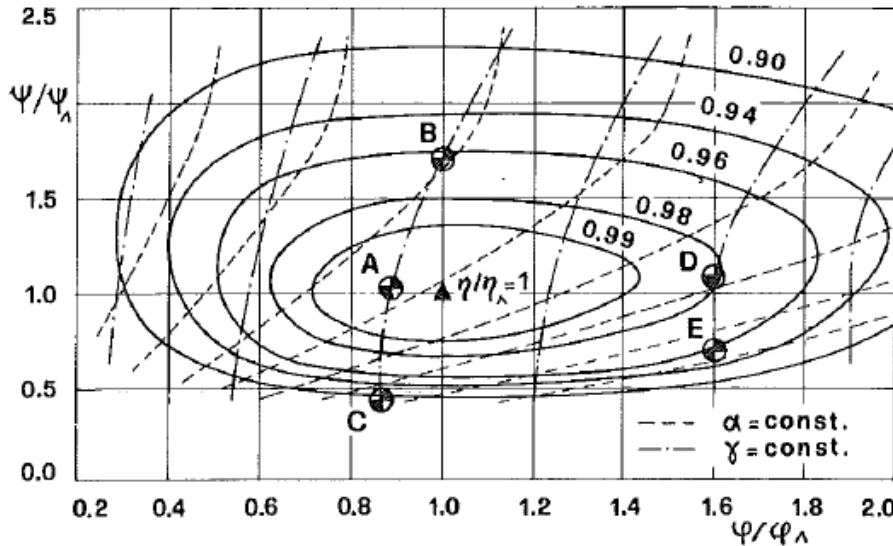


Figure 12 – Répartitions des pressions sur les profils des aubes pour deux surfaces axialsymétriques.



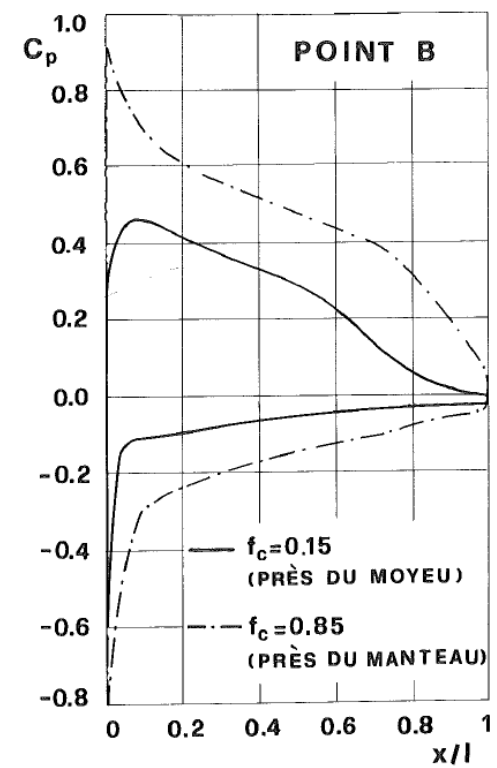
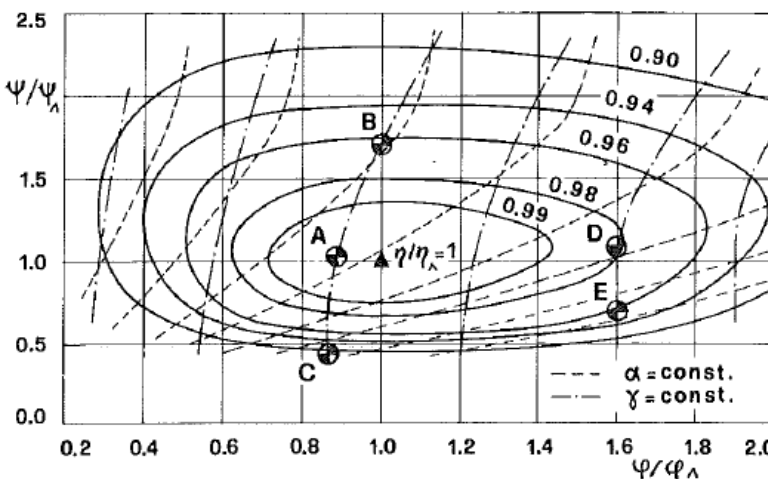
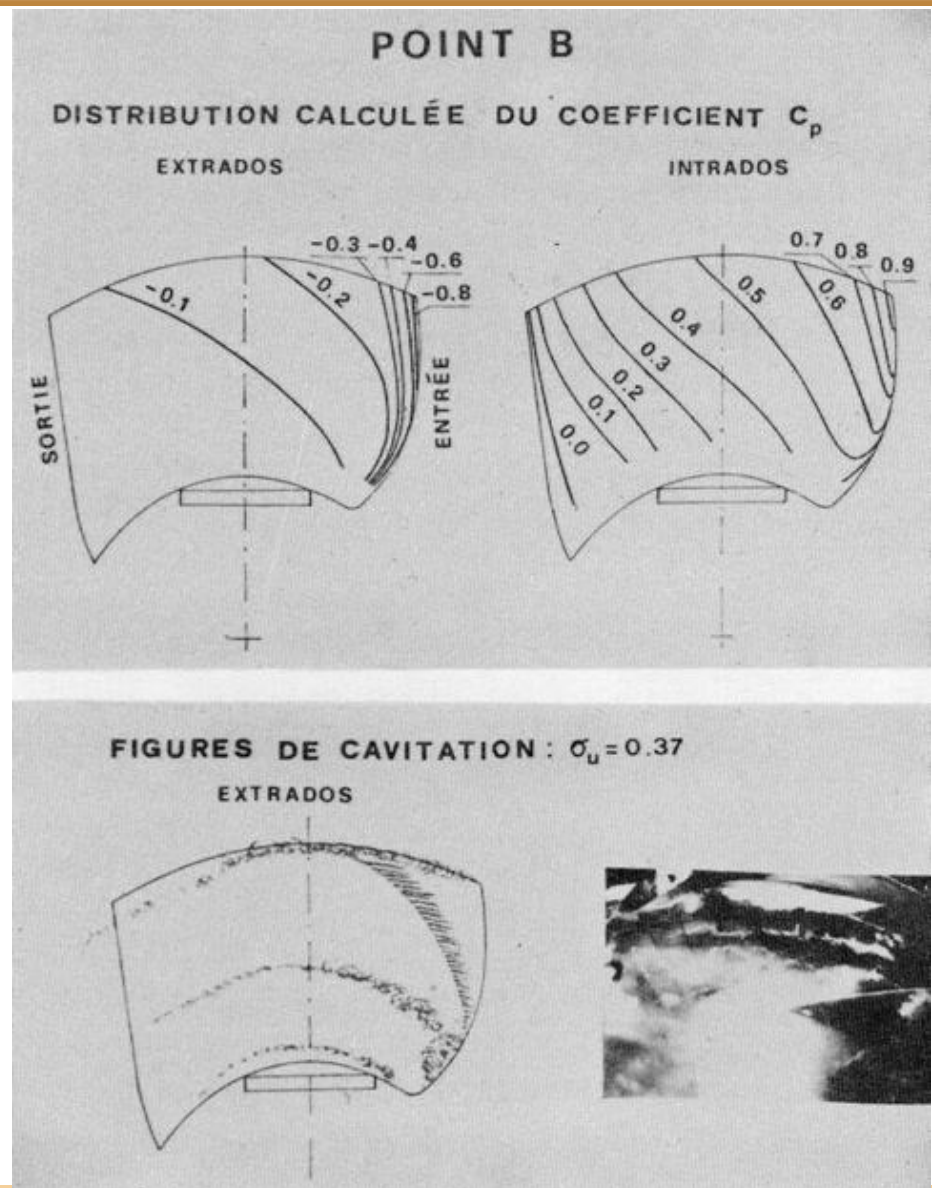
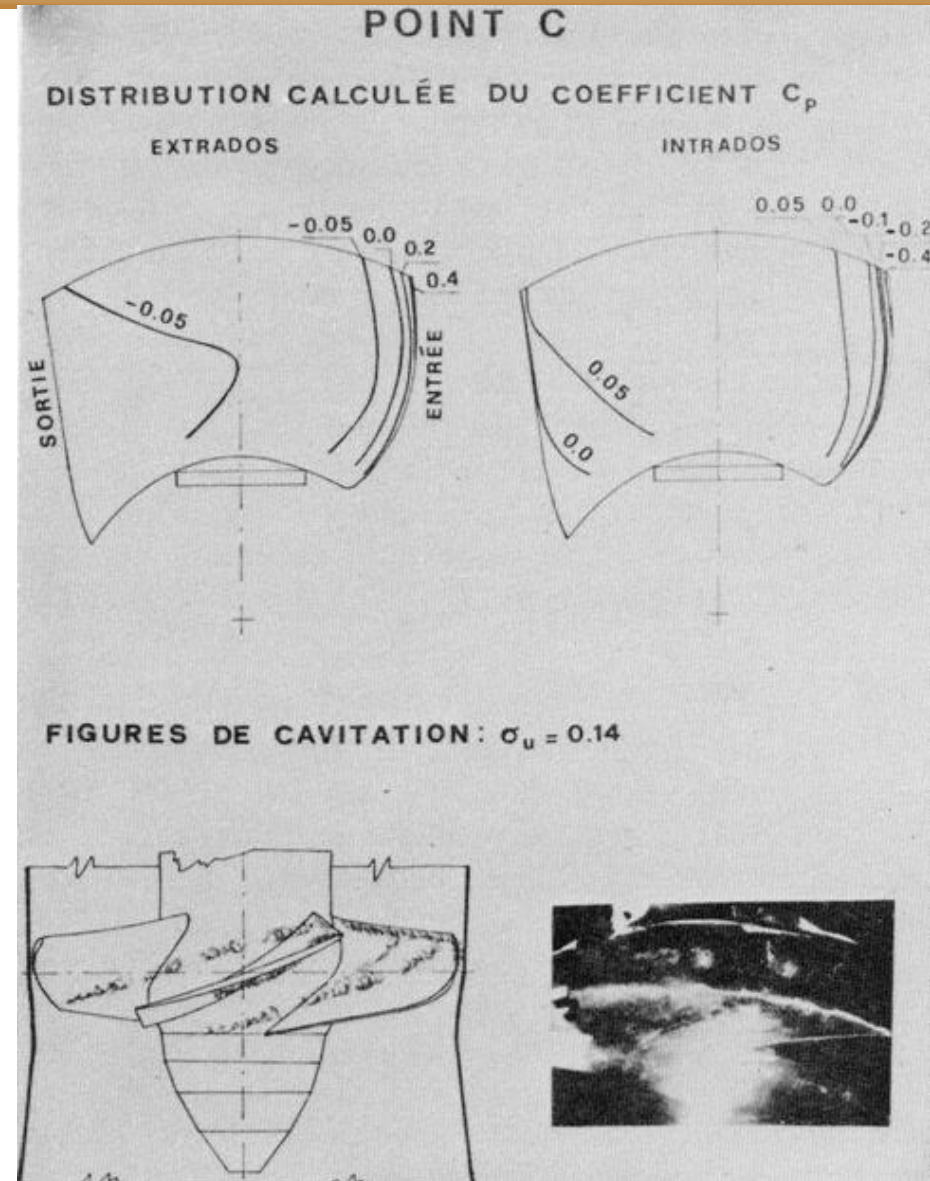
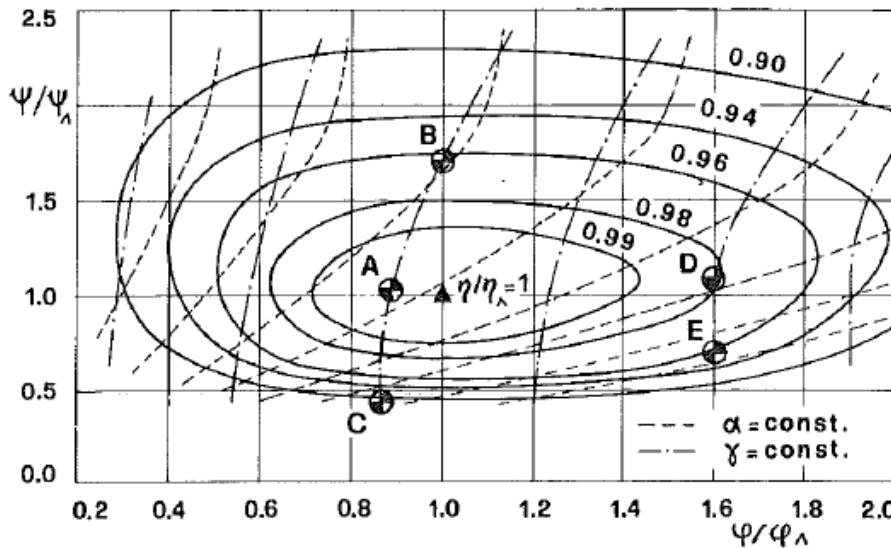
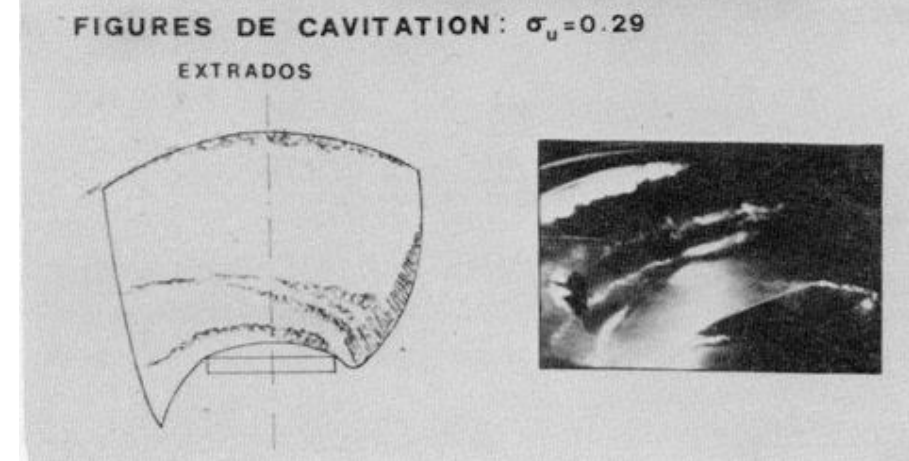
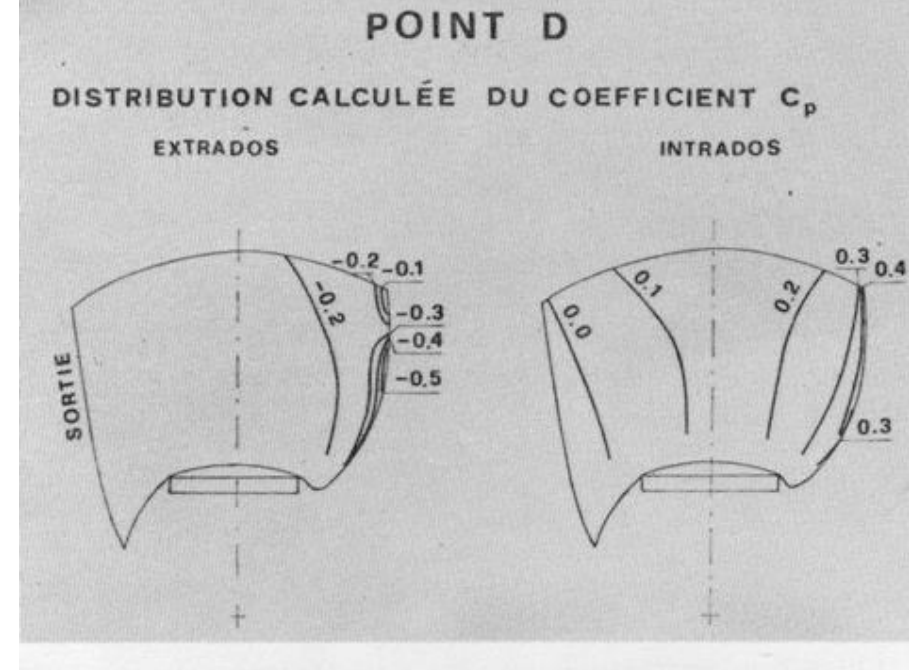
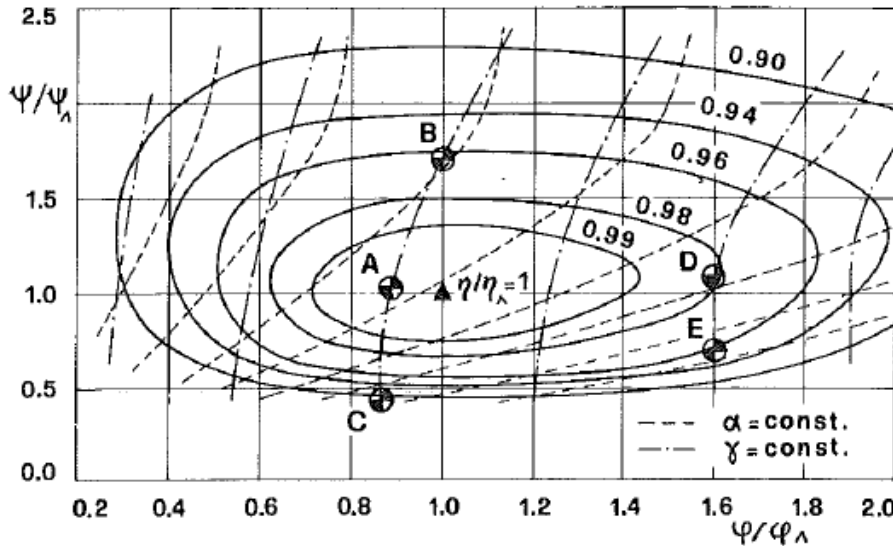
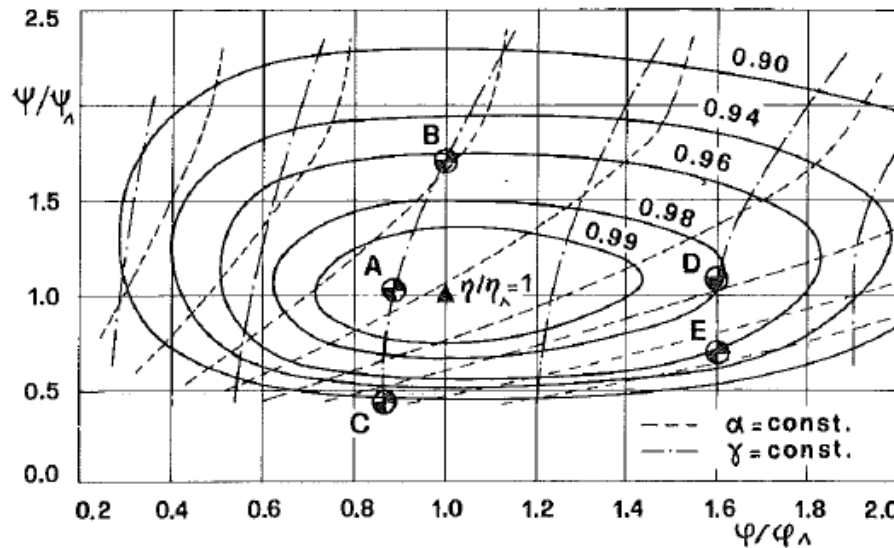


Figure 12 – Répartitions des pressions sur les profils des aubes pour deux surfaces axialsymétriques.



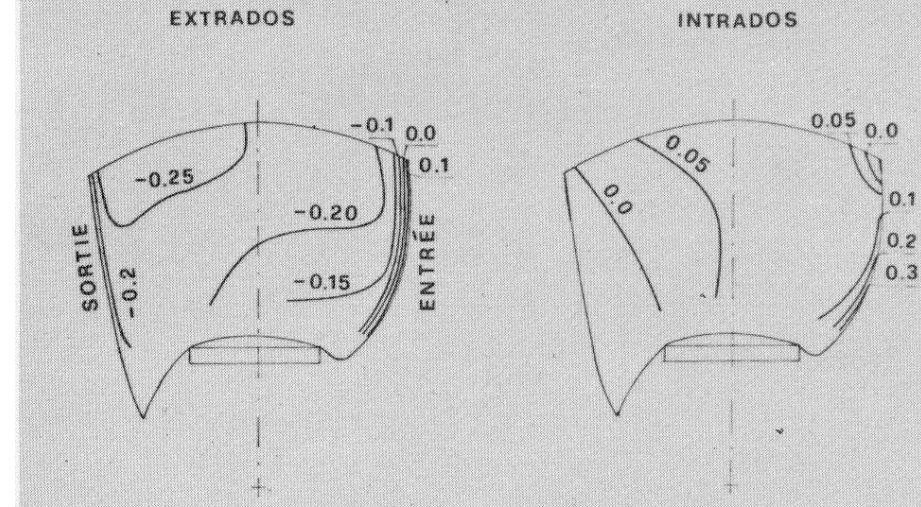




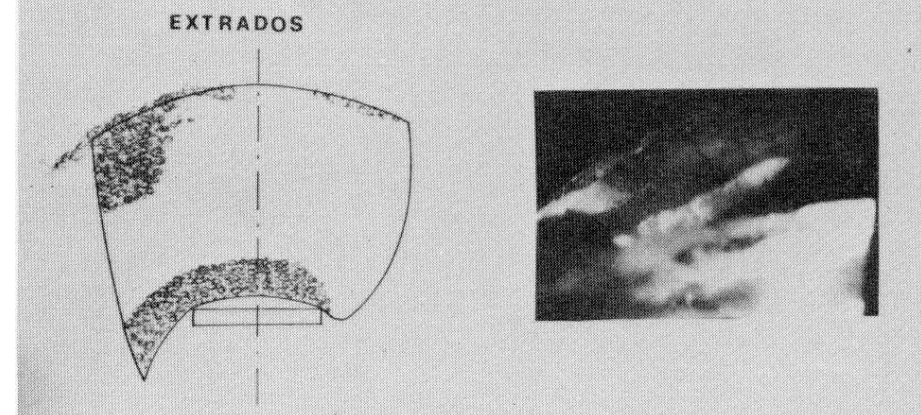


POINT E

DISTRIBUTION CALCULÉE DU COEFFICIENT C_p



FIGURES DE CAVITATION : $\sigma_u = 0.22$





Teacher's contact:

Prof. Pietro Zunino

Department of Mechanical Engineering, Energy,
Production and Transportations (DIME)
Università degli Studi di Genova

Via Montallegro 1
I-16145 Genova (Italy)

email: pietro.zunino@unige.it